

**MAC0317/MAC5920**

**Introdução ao Processamento de Sinais Digitais**

**Seção 6.4: Bancos de filtros multiestágios**

## Aplicação reiterada de bancos de filtros

A transformada definida por

$$x \mapsto (X_l, X_h) = (D(l_a * x), D(h_a * x))$$

pode ser iterada a fim de ganhar novas perspectivas sobre o sinal e novas possibilidades de processamento.

A aplicação *reiterada* ou *encaixada* do banco de filtros pode ser feita recodificando os sinais  $X_l$  e/ou  $X_h$  através do mesmo processo: filtragem e subamostragem

## Aplicação reiterada em todos os canais

Se decidirmos recodificar tanto  $X_l$  quanto  $X_h$ , através das transformações

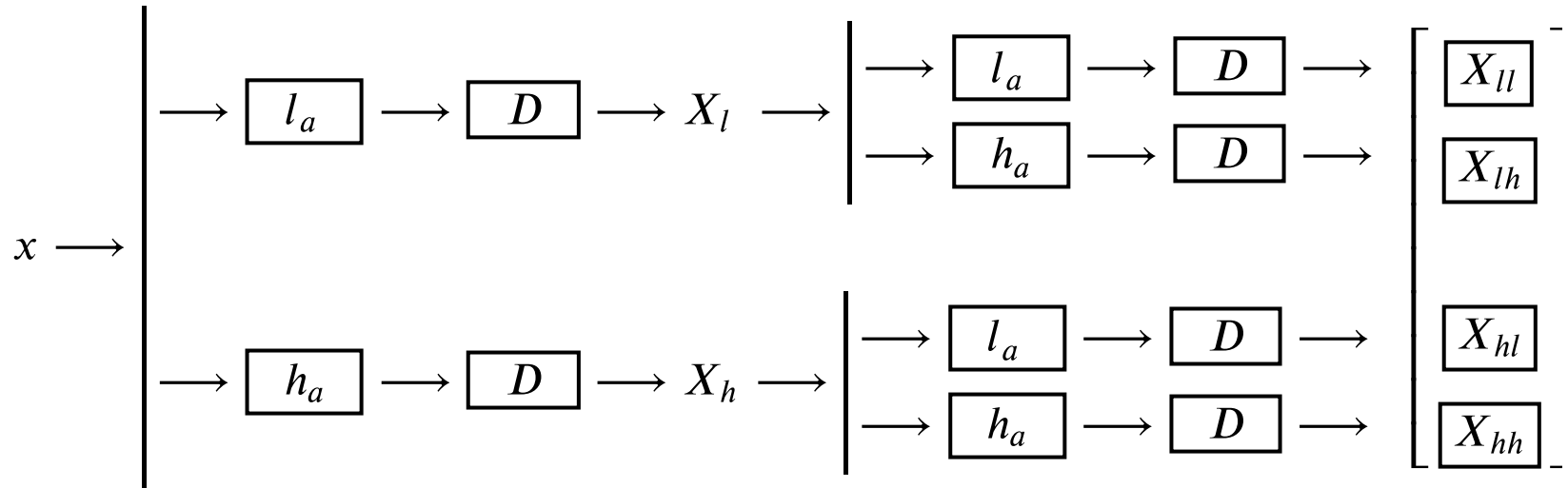
$$X_l \mapsto (X_{ll}, X_{lh}) = (D(l_a * X_l), D(h_a * X_l))$$

$$X_h \mapsto (X_{hl}, X_{hh}) = (D(l_a * X_h), D(h_a * X_h))$$

teremos a teoria dos *pacotes wavelet* (*wavelet packets*). A transformada completa em dois estágios será

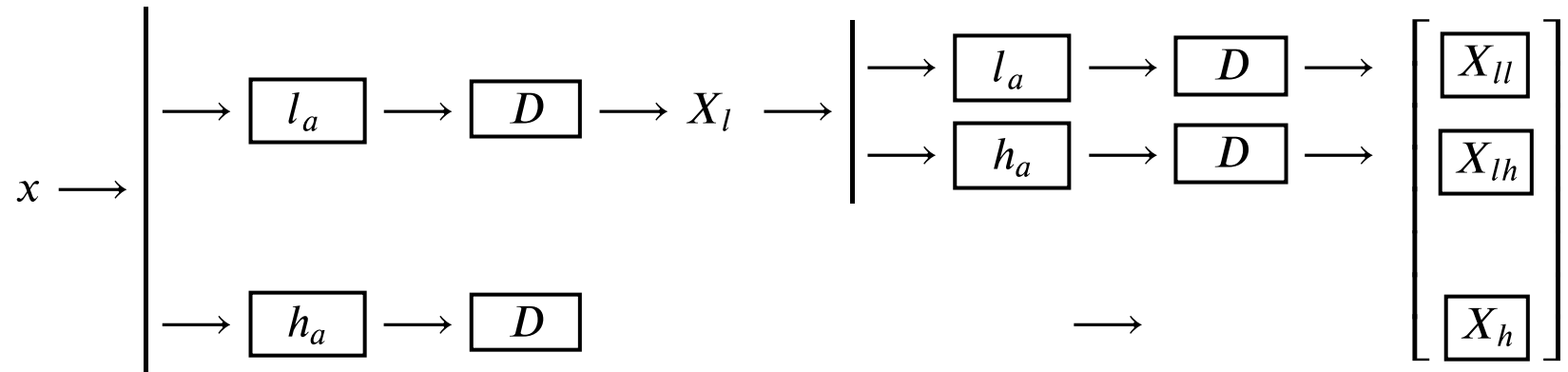
$$x \mapsto (X_{ll}, X_{lh}, X_{hl}, X_{hh}).$$

Graficamente, podemos representar o banco de filtros completo em dois estgios como



## Aplicação reiterada apenas nos coeficientes de aproximação ( $X_l$ )

A teoria de **wavelets** prevê a aplicação reiterada ou encaixada do banco de filtros apenas no canal de baixas frequências em cada estágio:



Isso equivale à transformada

$$x \mapsto (X_{ll}, X_{lh}, X_h) = \left( \underbrace{D(l_a * \overbrace{D(l_a * x)}^{X_l})}_{X_{ll}}, \underbrace{D(h_a * \overbrace{D(l_a * x)}^{X_l})}_{X_{lh}}, D(h_a * x) \right),$$

cuja inversa depende da aplicação também em dois estágios das operações de *superamostragem* e *filtragem*, ou seja, a transformada inversa  $(X_{ll}, X_{lh}, X_h) \mapsto x$  é dada por

$$x = l_s * U \left( \overbrace{l_s * U(X_{ll}) + h_s * U(X_{lh})}^{X_l} \right) + h_s * U(X_h).$$

## Transformada em mais de dois estágios

O processo acima pode ser generalizado para  $M$  estágios, sempre recodificando o canal de baixas frequências obtidos no estágio anterior:

$$x \mapsto \begin{bmatrix} \boxed{X_l} \\ X_h \end{bmatrix} \mapsto \begin{bmatrix} \boxed{X_{ll}} \\ X_{lh} \\ X_h \end{bmatrix} \mapsto \begin{bmatrix} \boxed{X_{lll}} \\ X_{llh} \\ X_{lhh} \\ X_h \end{bmatrix} \mapsto \begin{bmatrix} \boxed{X_{llll}} \\ X_{lllh} \\ X_{llhh} \\ X_{llh} \\ X_{lhh} \\ X_h \end{bmatrix} \mapsto \dots$$

onde após  $M$  aplicações teremos uma componente  $X_{\underbrace{ll\dots l}_M}$  e  $M$  componentes da forma  $X_{\underbrace{ll\dots lh}_L}$  para  $L = M - 1, M - 2, \dots, 0$ .

A decodificação deve ser realizada também em  $M$  etapas, seguindo a sequência acima na direção oposta.

## Exemplo 6.6

Considere outra vez o sinal do exemplo 6.2:

$$x(t) = \begin{cases} \sin(2\pi 12t), & 0 \leq t < t_1 \\ 0.8, & t_1 \leq t < t_2 \\ 0.3, & t_2 \leq t < t_3 \\ 0, & t_3 \leq t < 1 \end{cases}$$

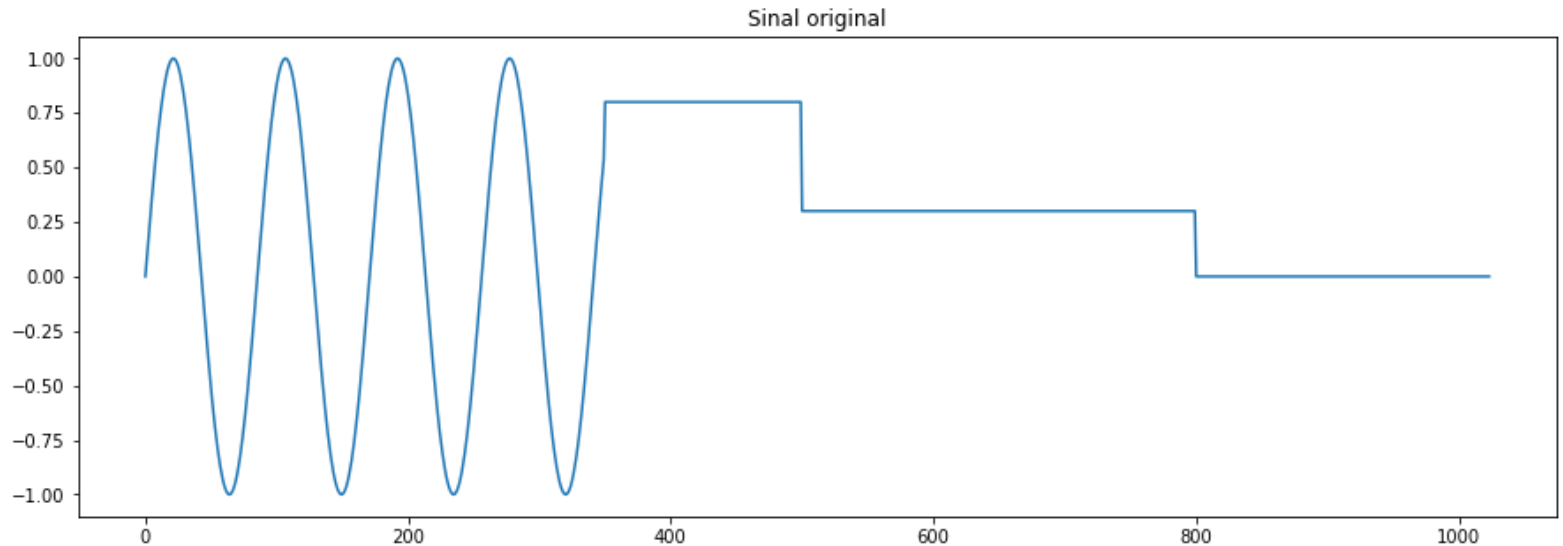
onde  $0 < t_1 < t_2 < t_3 < 1$ .

Consideraremos sua codificação em até 4 estágios pelo banco de filtros ortogonal da Haar, ou seja, usando

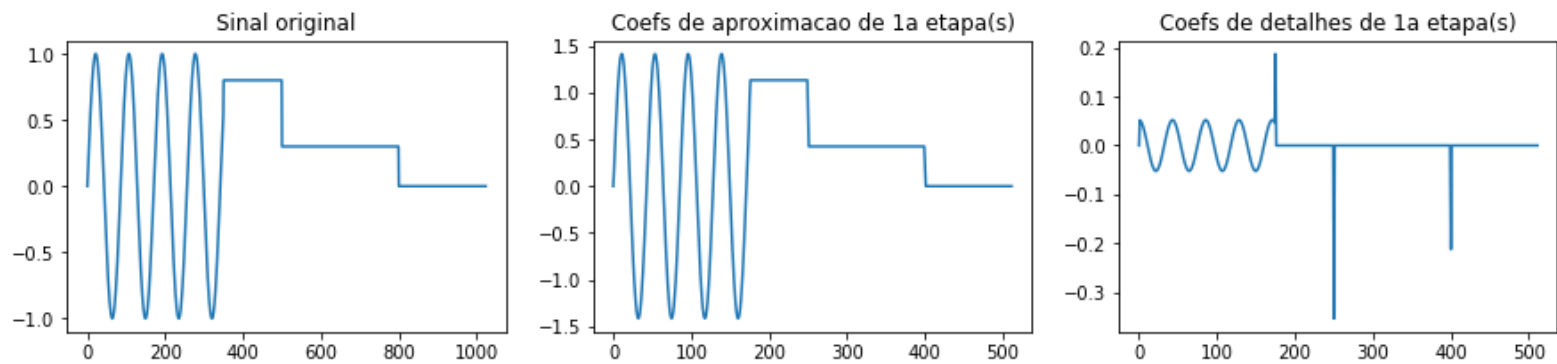
$$\begin{aligned} l &= (\dots, 0, 0, \overbrace{\frac{\sqrt{2}}{2}}^{n=0}, \frac{\sqrt{2}}{2}, 0, \dots) \\ h &= (\dots, 0, 0, \frac{\sqrt{2}}{2}, -\frac{\sqrt{2}}{2}, 0, \dots) \end{aligned}$$



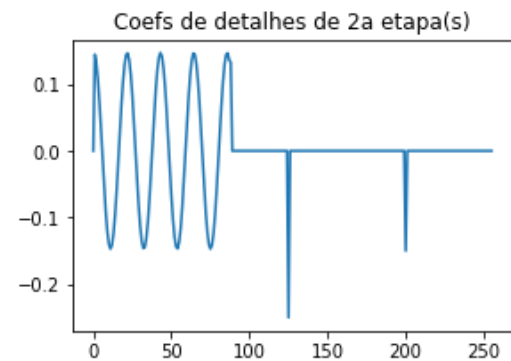
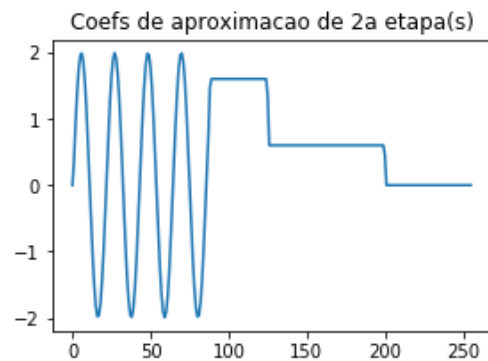
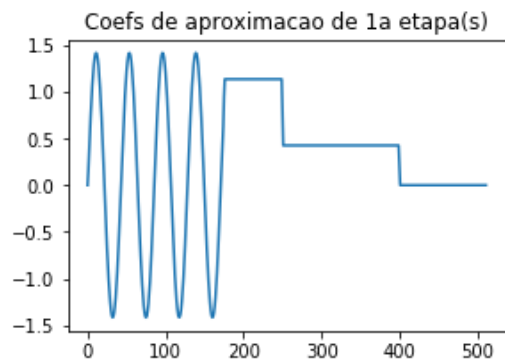
```
In [2]: N = 1024;x = np.zeros(1024);x[0:350] = np.sin(2 * m.pi * 12 * np.arange(0, 1, 1/N)[:350])
x[350:500] = 0.8 * np.ones(150);x[500:800] = 0.3 * np.ones(300)
fig, ax = plt.subplots(1,1, figsize=(15,5))
ax.plot(x);ax.set_title("Sinal original");plt.show()
```



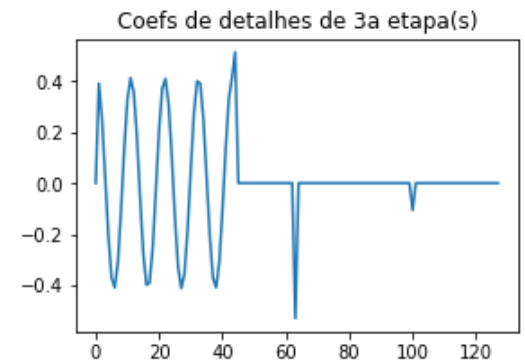
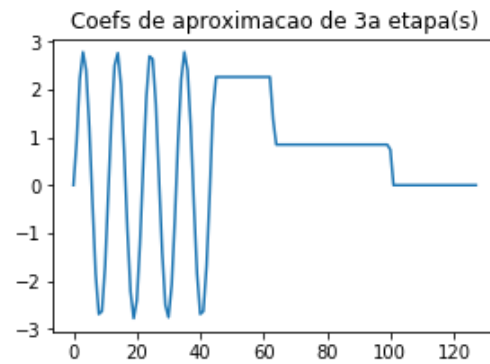
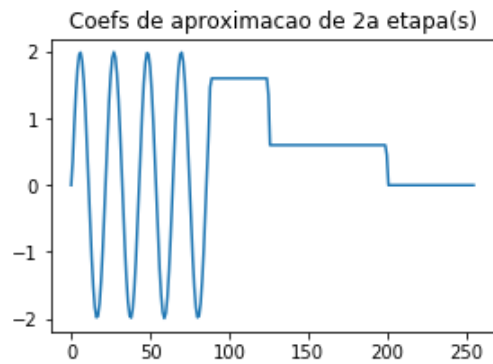
```
In [49]: coeficientes_etapa(1)
```



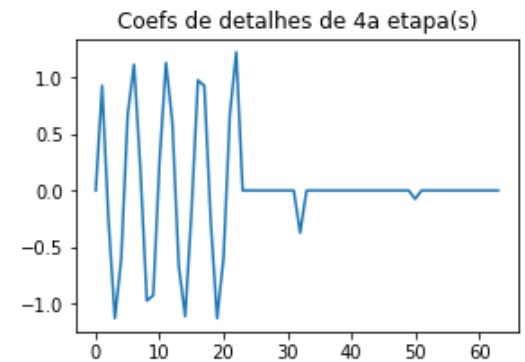
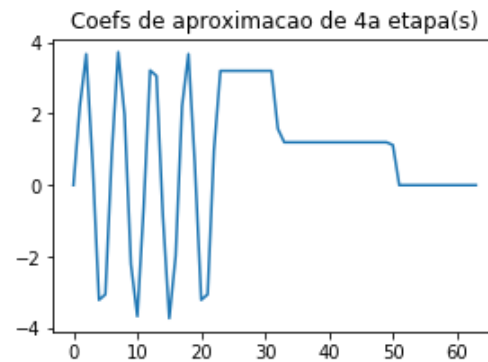
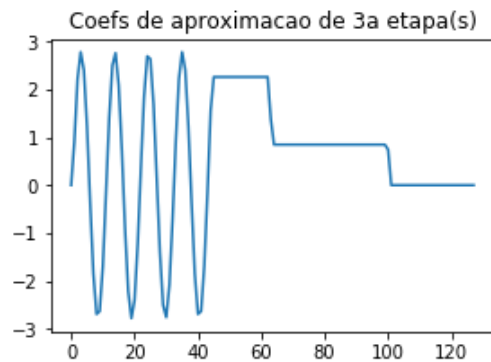
```
In [50]: coeficientes_etapa(2)
```



```
In [51]: coeficientes_etapa(3)
```



In [52]: `coeficientes_etapa(4)`



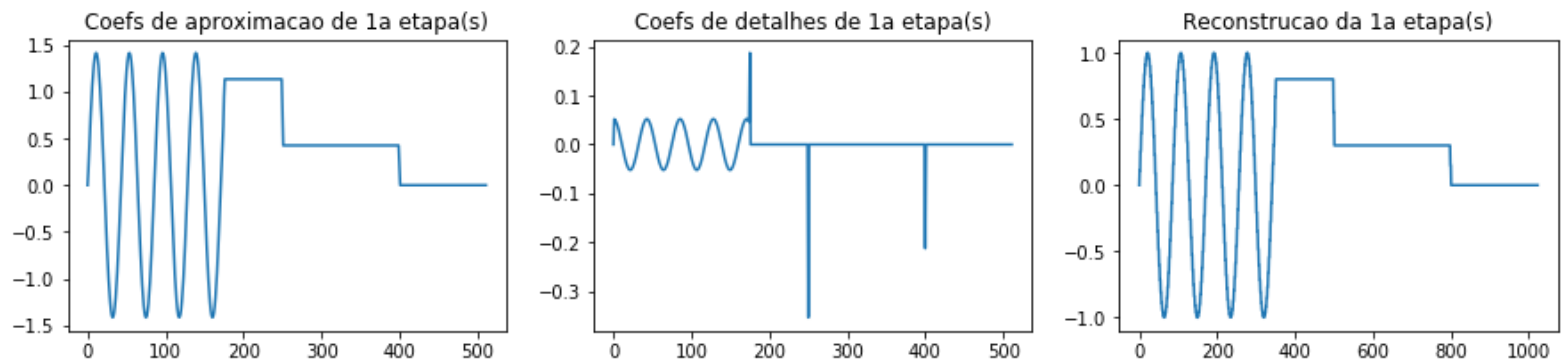
Observaremos agora o efeito de comprimir as representações em  $M$  estágios da forma

$$(X_{ll\dots ll}, X_{ll\dots lh}, \dots, X_h)$$

mantendo *apenas* os coeficientes de aproximação da última etapa, ou seja, resintetizando o sinal a partir de

$$\left( X_{ll\dots ll}, \overbrace{X_{ll\dots lh}}^{=0}, \dots, \overbrace{X_h}^{=0} \right).$$

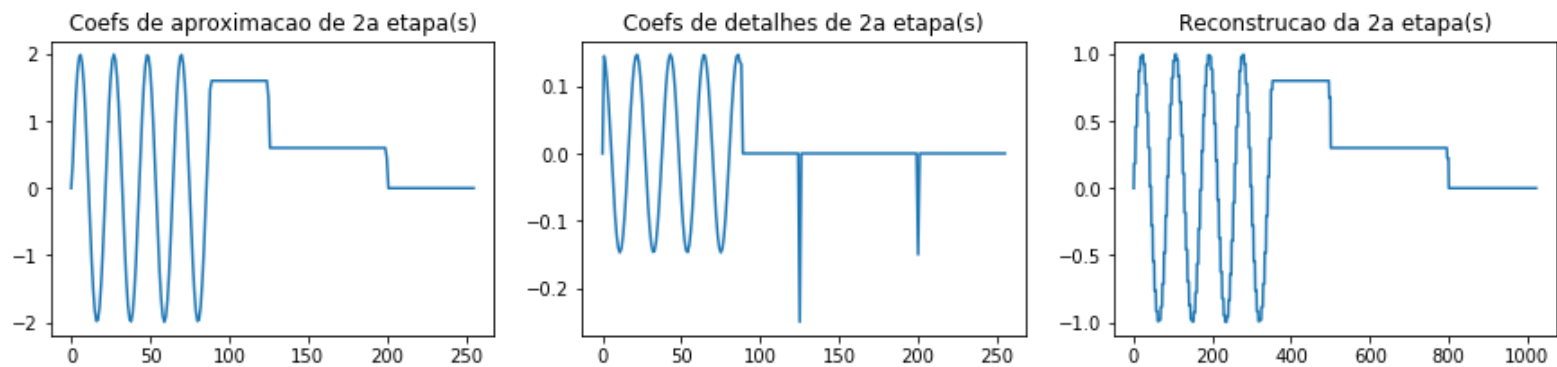
In [56]: `reconstrução_etapa(1)`



Tamanho (relativo) do vetor comprimido = 50.00%

Erro (relativo) da reconstrução = 0.15%

In [57]: `reconstrução_etapa(2)`

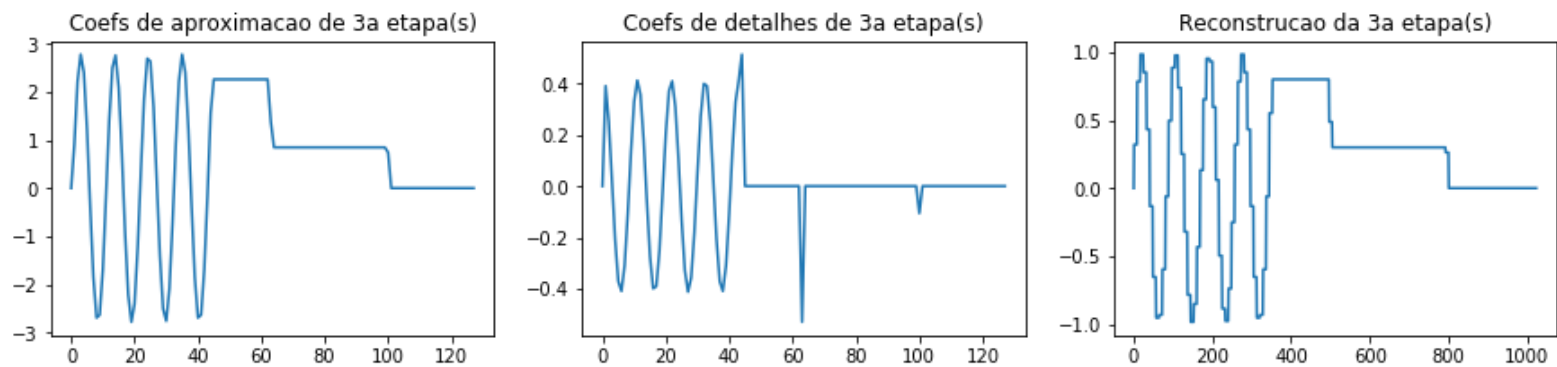


Tamanho (relativo) do vetor comprimido = 25.00%

Erro (relativo) da reconstrução = 0.51%



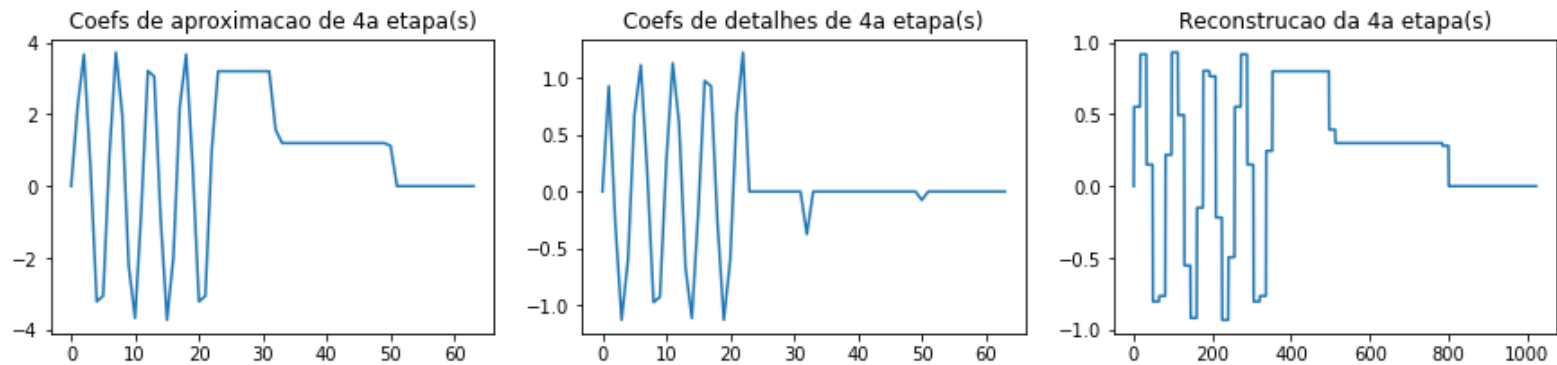
In [58]: `reconstrução_etapa(3)`



Tamanho (relativo) do vetor comprimido = 12.50%

Erro (relativo) da reconstrução = 1.96%

In [59]: `reconstrução_etapa(4)`



Tamanho (relativo) do vetor comprimido = 6.25%

Erro (relativo) da reconstrução = 7.10%

## Pywavelets

O módulo Pywavelets fornece diversas funções para lidar com Wavelets discretas e contínuas e implementa nativamente diversas famílias de funções bases. O banco de filtros de Harr é implementado ligeiramente diferente do utilizado no livro, e portanto os coeficientes de aproximação e detalhe tem pequenas diferenças em relação as figuras do capítulo 6, porém a transformada inversa é realizada de maneira que a reconstrução continua perfeita.

Exemplos de uso:

```
y = pywt.wavedec(x, 'haar', mode='zero', level=j)
x = pywt.waverec(y, 'haar', mode='zero')
```

A documentação do módulo pode ser encontrada aqui:

<https://pywavelets.readthedocs.io/en/latest/ref/index.html>  
(<https://pywavelets.readthedocs.io/en/latest/ref/index.html>)